

## بررسی نقش استرس اکسیداتیو و کاسپاز ۸ در آپتوz ناشی از غلظت بالای گلوکز در سلولهای PC12

علی محمد شریفی<sup>\*</sup><sup>۱،۲</sup>، حبیب اسلامی<sup>۲</sup>، باقر لاریجانی<sup>۳</sup>

### چکیده

مقدمه: استرس اکسیداتیو با دیابت و عوارض آن مانند نوروفاتی در ارتباط می‌باشد. تاکنون سازوکارهای دقیق مولکولی سمیت ناشی از گلوکز بر روی سلولهای عصبی مشخص نشده است. هدف از این مطالعه بررسی ارتباط استرس اکسیداتیو با فعال شدن کاسپاز ۸، در مرگ سلولی ناشی از غلظت بالای گلوکز در سلولهای PC12 بود.

روش‌ها: آپتوz و استرس اکسیداتیو در سلول‌ها برتریب توسط سنجش قطعه قطعه شدن DNA (DNA Ladder) و تست MDA ارزیابی شده است. جهت مهار کاسپازها، Z-VAD-FMK بکار برده شد و سپس میزان حیات سلولی توسط روش MTT بررسی شد. فعالیت آنزیمی کاسپاز ۸ به روش کالریمتری با استفاده از سوبستراهای سنتزی و تغییرات بیان پروتئین پروکاسپاز ۸ به روش ایمونوبلاتینگ اندازه‌گیری شد.

یافته‌ها: الگوی قطعه قطعه شدن DNA در سلول‌های تیمار شده با غلظت بالای گلوکز مشاهده گردید. میزان تولید MDA در سلول‌های تیمار شده نسبت به کنترل افزایش معنی‌دار نشان داد. مهار کننده عمومی کاسپازها توانست بصورت وابسته به دوز موجب افزایش توان حیاتی سلول‌های تیمار شده گردد. فعالیت آنزیمی کاسپاز ۸ در سلول‌های تیمار شده نسبت به سلول‌های کنترل بطور معنی‌داری افزایش و میزان پروتئین پروکاسپاز ۸ بطور معنی‌داری کاهش یافت که بیانگر تبدیل آن به فرم فعال کاسپاز می‌باشد.

نتیجه‌گیری: بنابراین می‌توان نتیجه گرفت که آپتوz ناشی از غلظت بالای گلوکز در سلولهای PC12 تا اندازه‌ای وابسته به فعال شدن کاسپاز ۸ و مرتبط با استرس اکسیداتیو باشد.

واژگان کلیدی: PC12، گلوکز، استرس اکسیداتیو، آپتوz، کاسپاز ۸

- 
- ۱- مرکز تحقیقات علوم داروئی رازی و دپارتمان فارماکولوژی، دانشکده پزشکی، دانشگاه علوم پزشکی تهران
  - ۲- دپارتمان فارماکولوژی، دانشکده پزشکی، دانشگاه علوم پزشکی هرمزگان
  - ۳- مرکز تحقیقات غدد درون ریز و متابولیسم، دانشگاه علوم پزشکی تهران

\*نشانی: تهران، اتوبار همت، جنب بیمارستان میلان، دانشگاه علوم پزشکی تهران، دانشکده پزشکی، دپارتمان فارماکولوژی و مرکز تحقیقات علوم دارویی رازی، صندوق پستی: ۱۴۱۵۵-۶۱۸۳-۰۲۱-۸۸۰۵۸۶۹۶، تلفن: ۰۲۱-۸۸۰۵۸۶۹۶، پست الکترونیک: sharifal@yahoo.com

بصورت پروآنژیم (فرم غیر فعال) ساخته شده و بعد از دریافت پیام مرگ سلولی، به فرم فعال آنژیمی تبدیل می‌شوند [۱۵]. دو مسیر اصلی برای آپیتوز شناسایی شده است: ۱- مسیر خارجی (مسیر وابسته به گیرنده‌های مرگ) ۲- مسیر داخلی (مسیر میتوکندریایی). مسیر خارجی آپیتوز از طریق گیرنده‌های مرگ آغاز گردیده و منجر به فعال شدن کاسپاز ۸ می‌شود. کاسپاز ۸ فعال شده می‌تواند بطور مستقیم کاسپازهای اجرایی را فعال کند یا اینکه از طریق پروتئین Bid عمل کند [۱۶]. در مسیر داخلی، آزاد شدن سیتوکروم c از میتوکندری، باعث فعال شدن کاسپاز ۹ با دخالت پروتئین Apaf-1 می‌شود و در نهایت کاسپازهای اجرایی فعال می‌شوند [۱۷]. بین این دو مسیر ارتباط تنگاتنگی وجود دارد بطوری که پروتئین Bid (سوبرترای کاسپاز) پس از انتقال به میتوکندری، موجب رهاسازی سیتوکروم c می‌شود [۱۸].

رده سلولی PC12 که منشا آن فئوکروموسیتوم آدرنال رت می‌باشد، به عنوان مدل مناسب برای مطالعه نورون‌ها در تحقیقات استفاده شده است [۱۹، ۲۰]. مطالعه قبلی ما نشان داد که غلظت بالای گلوکز می‌تواند در سلول‌های PC12 آپیتوز ایجاد کند که با بررسی پدیده قطعه قطعه شدن DNA و افزایش نسبت پروتئین Bax به Bcl2، به اثبات رسید [۱۲]. استرس اکسیداتیو ممکن است از طریق میانجی‌هایی مانند p53 و NF- $\kappa$ B در تنظیم بیان Bax و در فعال شدن کاسپازها نقش داشته باشد [۲۱، ۲۲]. از طرف دیگر افزایش پروتئین Bax با مسیرهای آپیتوزی وابسته به کاسپاز و نیز غیر وابسته به کاسپاز مرتبط بوده است [۲۵-۲۳]. اما گزارش‌هایی در مورد اینکه آیا کاسپاز ۸ نقشی در ایجاد آپیتوز ناشی از غلظت بالای گلوکز در سلول‌های PC12 دارد، موجود نیست. بنابراین هدف از این مطالعه بررسی ارتباط استرس اکسیداتیو با فعال شدن کاسپاز ۸ (کاسپاز آغازگر در مسیر خارجی آپیتوز)، در مرگ ناشی از غلظت بالای گلوکز در سلول‌های PC12 به عنوان یک رده سلولی عصبی می‌باشد.

## مقدمه

هیبرگلیسمی ناشی از بیماری دیابت باعث تولید رادیکال‌های آزاد و کاهش دفاع آنتی اکسیدانی بدن (استرس اکسیداتیو) می‌شود. این امر نقش اساسی در پاتوز نوروپاتی دیابتی ایفا می‌کند [۲۱]. نوروپاتی‌های دیابتی، گروهی هتروژن از اختلالاتی هستند که سیستم عصبی حرکتی، حسی و اتونومیک را تحت تاثیر قرار می‌دهند و علت اصلی قطع عضو غیر ترومایی در بیماران دیابتی می‌باشد [۳]. استرس اکسیداتیو زمانی در یک سیستم سلولی اتفاق می‌افتد که میزان تشکیل رادیکال‌های آزاد در آن فراتر از توانایی آنتی اکسیدانی آن باشد. رادیکال‌های آزاد اثرات تخریبی بر روی DNA و پروتئین در سلول‌ها دارند و می‌توانند باعث فعال شدن سازوکارهای مرگ سلولی از جمله آپیتوز (مرگ برنامه‌ریزی شده) شوند [۴، ۵]. ثابت شده است که آپیتوز منجر به از دست رفتن نورون‌ها در اکثر بیماری‌های تحلیل پرندۀ عصبی (نوروڈژنراتیو) می‌شوند [۶]. مطالعات اخیر نیز نشان داده است که غلظت بالای گلوکز علت اصلی آسیب به سیستم عصبی می‌باشد [۷]. اطلاعات کمی در مورد اثر مستقیم سمی غلظت‌های بالای گلوکز بر روی سلول‌های عصبی وجود دارد. آپیتوز به عنوان سازوکار احتمالی سمتیت عصبی گلوکز مطرح شده است [۸-۱۲]. اما هنوز سازوکارهای دقیق مولکولی آپیتوز ناشی از غلظت بالای گلوکز مشخص نشده است.

آپیتوز نقش اساسی در تکامل نرمآل و هموستاز بافت‌ها دارد و چنانچه در تنظیم آن اختلالی رخ دهد، می‌تواند در ایجاد بیماری‌های مختلف مانند سرطان، خودایمنی و اختلالات تحلیل برندۀ عصبی نقش داشته باشد. این فرم فعل مرگ سلولی بوسیله تغییرات مورفو‌لوژیکی مانند متراکم شدن کروماتین و قطعه قطعه شدن DNA مشخص می‌شود [۱۳]. فرایند آپیتوز توسط یک خانواده از سیستئین پروتئازها بنام کاسپازها انجام می‌شود. کاسپازها به دو دسته تقسیم می‌شوند: کاسپازهای آغازگر مانند کاسپازهای ۹، ۸ و ۱۲ که عمل اصلی آنها فعال کردن کاسپازهای پایین دست است و کاسپازهای اجرایی مانند کاسپازهای ۶، ۳ و ۷ که مسئول تخریب پروتئین‌های سلولی هستند [۱۴]. کاسپازها

## روش‌ها

### سنجهش قطعه قطعه شدن DNA (DNA Ladder)

در اثر آپیتوز، هسته سلول قطعه قطعه شده و بعد از الکتروفورز، به صورت نرده‌بند (Ladder) ظاهر می‌شود. این پدیده یکی از راههای تشخیص آپیتوز می‌باشد. بطور خلاصه بعد از اتمام زمان تیمار، سلول‌ها در اتانول ۷۰٪ به مدت ۲۴ ساعت در ۰°C-۲۰°C فیکس شده و سپس به مدت ۵ دقیقه در ۱۰۰۰ g سانتریفیوژ گردید. رسوب سلول در ۴۰ میکرولیتر بافر فسفات سیتریک اسید حل شد و در حرارت اتاق برای ۳۰ دقیقه نگاهداری شد. بعد از سانتریفیوژ در ۱۵۰۰ g به مدت ۵ دقیقه، در دستگاه Concentrator خشک گردیده و سپس ۳ میکرولیتر از ۰.۲۵% NP40 و RNase به آن اضافه گردید و به مدت ۳۰ دقیقه در حرارت ۳۷ درجه سانتیگراد انکوبه شد. سپس ۱۰ میکرولیتر پروتئیناز K اضافه شده و مجدداً در ۳۷ درجه به مدت ۳۰ دقیقه انکوبه شد. نمونه‌ها به مدت ۴۰ دقیقه با ولتاژ ۱۰۰ ولت بر روی ژل آگاروز ۰.۱٪ الکتروفورز گردید [۲۵].

### سنجهش MDA

جهت اندازه‌گیری رادیکال‌های آزاد که مسبب واکنش استرس اکسیداتیو در سلول‌ها هستند، از تست MDA استفاده شد. این روش، بر پایه واکنش بین MDA (محصول بدست آمده از واکنش ROS با دزوکسی ریبوز) و معرفی به نام تیوباریتوريک اسید (Thiobarbituric Acid=TBA) استوار است [۲۶]. بطور خلاصه، بعد از اتمام زمان تیمار سلول‌ها با ۱۰۰ mM گلوکز به مدت ۷۲ ساعت، محتوى چاهک‌ها را پیش‌تازه کرده و ۱۰۰ میکرولیتر از آن به همراه ۱۰۰ میکرولیتر SDS/۸ به مدت ۵ دقیقه در درجه اتاق انکوبه شد. بعد از اضافه کردن ۲۰۰ میکرولیتر از معرف (TBA + استریک اسید ۰.۲٪) به آن، به مدت یک ساعت در بن ماری ۱۰۰°C قرار داده و بعد از سانتریفیوژ (به مدت ۱۵ دقیقه با rpm ۳۰۰۰)، میزان جذب مایع رویی حاصل در طول موج ۵۳۲ نانومتر توسط دستگاه اسپکتروفوتومترخوانده شد. از منحنی استاندارد MDA جهت محاسبه غلظت MDA در نمونه‌ها استفاده شد و نتایج به صورت میکرومولار MDA به ازای ۳×۱۰۴ سلول (μM MDA/3×104 cells) بیان گردید.

### کشت سلول‌های PC12

این سلول‌ها از انتستیتو پاستور تهران تهیه شدند. مواد مورد نیاز کشت سلولی از شرکت Gibco و فلاسک‌ها و میکروپلیت‌ها از شرکت Greiner خریداری شدند. سلول‌ها در محیط کشت PC12 (DMEM FBS (Medium (0.۵% سرم جنین گاوی FBS)، ۱۰٪ سرم اسب (Bovine Serum)، ۱٪ سرم (Horse Serum) HS و ۱٪ پنی‌سیلین- استرپتومایسین (Penicillin 100U/ml) و در انکوپاتور (Memert، Germany) با رطوبت ۹۰٪ CO2 و دمای ۳۷°C کشت گردید. غلظت گلوکز در این محیط ۲۳ mM بود که داده شدند. غلظت گلوکز در حالی که این میزان نسبت به غلظت گلوکز طبق دستورالعمل ساخت جهت رشد سلول‌های PC12 مناسب بود در حالی که این میزان به میزان قابل توجهی بالا بود. کشت‌ها به سرم انسان به میزان قابل توجهی بالا بود. کشت‌ها به صورت روزانه به وسیله میکروسکوپ معکوس از نظر مورفولوژی سلول‌ها، الودگی و تراکم رشد بررسی و در صورت نیاز کشت مجدد می‌شدند. محیط کشت سلول‌ها هر ۴۸ ساعت تعویض شد. با پاساز دادن هر دو تا سه روز، سلول‌ها در فاز لگاریتمی رشد نگهداری شدند. جهت پاساز دادن، سلول‌ها به آرامی با بافر نمکی فسفات (PBS) شسته شده و سپس به مدت ۲-۳ دقیقه در معرض تریپسین- EDTA قرار گرفتند. سلول‌ها در محیط کشت DMEM حاوی گلوکز با غلظت‌های ۲۳ mM (به عنوان گلوکز نرمال کنترل)، ۷۵ mM، ۵۰ mM، ۱۰۰ mM و ۷۵ mM (به عنوان گلوکز بالا) کشت داده شدند. جهت انجام تست MDA و MTT، بعد از دو بار پاساز دادن، سلول‌ها به پلیت‌های ۲۴ و ۹۶ خانه (در هر خانه ۳۰۰۰۰ و ۵۰۰۰۰ سلول به ترتیب) منتقل شدند. جهت استخراج پروتئین تام سلولی (که برای بررسی فعالیت آنزیمی و ایمونوبلاتینگ استفاده شد)، سلول‌ها در فلاسک ۷۵ cm<sup>2</sup> کشت داده شدند و بعد از گذراندن زمان ۲۴ ساعت با ۲۳-۱۰۰ mM گلوکز یا ۱۰۰ مانیتور (به عنوان کنترل اسمولاری) به مدت ۷۲ ساعت تیمار شدند.

## اندازه‌گیری فعالیت آنزیمی کاسپاز ۸

فعالیت آنزیمی کاسپاز ۸ بوسیله روش کالریمتری اندازه‌گیری شد که بر اساس تشخیص توالی‌های خاص اسیدهای آمینه در سوبسترا توسط کاسپازها می‌باشد. سوبسترها یک تراپیتید می‌باشند که با ماده رنگی پارانیتروآنیلین (pNA) نشان دار شده‌اند. pNA در اثر واکنش کاسپازها با سوبستر، از آن جدا می‌شود و تولید رنگ زرد می‌کند که توسط دستگاه الایزا، جذب نوری آن در طول موج  $405\text{ nm}$  نانومتر محاسبه می‌شود. میزان تولید رنگ در اثر شکسته شدن سوبستر متناسب با فعالیت آنزیمی کاسپاز در نمونه مورد نظر است [۲۹]. بطور خلاصه، لیزات‌های تام سلولی در بافر اندازه‌گیری کاسپاز (۱۰۰ میلی‌مولار HEPES با pH ۷/۴، ۰/۵ میلی‌مولار EDTA، ۰/۲۰٪ گلیسرول، ۵ میلی‌مولار دی‌تیوتريتول) به همراه ۱۰۰ میکرومولار سوبسترای اختصاصی کاسپاز (Alexis Biochemicals از شرکت Ac-IETD-pNA) به مدت ۴ ساعت در  $37^\circ\text{C}$  انکوبه شدند و سپس جذب نوری آن محاسبه گردید. فعالیت آنزیمی کاسپاز به صورت نانومول pNA آزاد شده طی یک ساعت از یک میلی‌گرم پروتئین تام سلولی (nmol pNA/h/mg protein) بیان می‌شود که با استفاده از منحنی استاندارد pNA محاسبه می‌گردد.

## روش ایمونوبلاتینگ برای سنجش مقدار پروتئین پروکاسپاز ۸

ابتدا نمونه‌های پروتئینی را با بافر نمونه  $5\text{X}$  حاوی ۶۲ میلی‌مولار Tris-HCl ( $\text{pH}=۶/۸$ )، SDS٪ ۰/۲۵، ۰/۲۵٪ گلیسرول، ۰/۵٪ مرکاپتاتانول و ۰/۰٪ بروموفنول بلو، مخلوط کرده و به مدت ۵ دقیقه در  $95^\circ\text{C}$  جوشانده شدند. میزان یکسانی از پروتئین‌های استخراج شده از سلول‌های کنترل و تیمار شده با گلوکر، به روش SDS-PAGE SDS-PAGE الکتروفورز شده [۳۰] و باندهای پروتئینی به روش بلاستینگ به روی ورقه پلی وینیلیدن دی‌فلوراید (PVDF) منتقل شد. SDS-PAGE و Mini-Protean 4 Cell با ترتیب توسط دستگاه‌های Mini-Trans Blot (شرکت Bio-Rad) انجام گردید.

## بررسی مهار عمومی کاسپازها

سلول‌ها در حضور یا عدم حضور مهار کننده عمومی کاسپازها، Z-VAD-FMK (۰/۲۵-۱۰۰ μM) به مدت ۷۲ ساعت با  $100\text{ μM}$  گلوکر تیمار شده و سپس محلول MTT (۵ mg/ml) در PBS به چاهک‌های پلیت ۳۷°C ۹۶ خانه اضافه شد و به مدت ۲ ساعت در انکوباتور قرار گرفتند. بعد از اتمام این زمان، محتوای چاهک‌ها تخلیه شد و  $100\text{ μl}$  میکرولیتر DMSO به هر کدام اضافه شد و به مدت ۱۰ دقیقه جهت حل کردن رسب‌های بنفس MTT تکان داده شد. MTT زرد رنگ هنگامی که وارد سلول‌های زنده می‌شود، بوسیله آنزیم دهیدروژناز این سلول‌ها احیا می‌شود و رسب بنفس رنگ ایجاد می‌کند [۲۷]. جذب نوری آن بوسیله الایزا ریدر در طول موج  $570\text{ nm}$  قابل اندازه‌گیری است و توان حیاتی سلول‌های تیمار شده نسبت به سلول‌های کنترل به صورت زیر محاسبه می‌گردد: جذب نوری سلول‌های کنترل / جذب نوری نمونه‌های تیمار شده  $= \frac{100}{\text{درصد زنده ماندن سلول‌ها}}$

## استخراج پروتئین تام سلولی

سلول‌های کنترل و تیمار شده با استفاده از محلول تریپسین-EDTA از ته فلاسک کنده و با PBS شستشو داده شدند. سپس با محلول لیز کننده سلولی یا PBS ۱X ] RIPA ٪ ۰/۱، NP-40 ٪ ۰/۰۵، سدیم داکسی کولات، ۰/۰۱ mg/ml، SDS ٪ ۰/۰۱، ۳۰ μl/ml، ۰/۱ فنیل متیل سولفونیل فلوراید (PMSF) و با سوزن  $21\text{ G}$  عبور داده شد و بعد از اضافه کردن PMSF ۱۰ میکرولیتر از محلول  $10\text{ mg/ml}$ ، به مدت یک ساعت بر روی یخ قرار گرفت. سپس به مدت ۲۰ دقیقه ( $4^\circ\text{C}$  و با شتاب  $15000\text{ g}$ ) سانتریفیوژ گردید تا پسماندهای حاصل از لیز سلولی حذف شود. محلول رویی حاصل از سانتریفیوژ به حجم‌های کوچکتر مساوی تقسیم گردیده و تا زمان انجام آزمایش‌ها در دمای  $80^\circ\text{C}$  - نگهداری شدند. غلظت پروتئین توسط روش Bradford اندازه‌گیری شد [۲۸] و به BSA عنوان استاندارد بکار رفت.

## آنالیز آماری

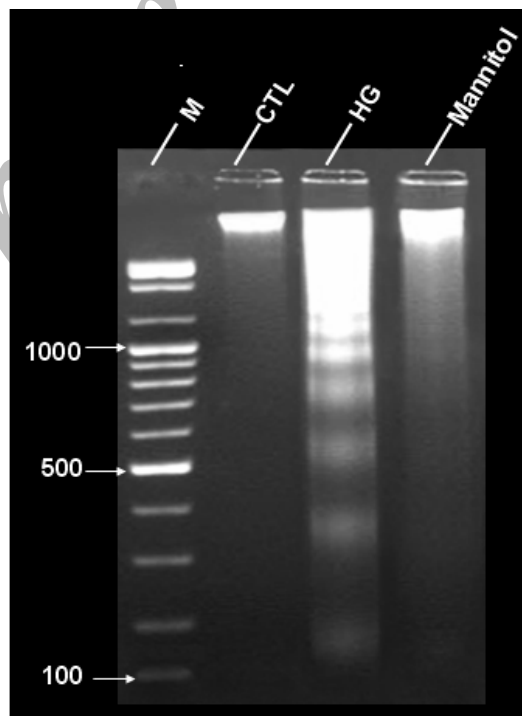
داده‌های مربوط به تست MDA، اندازه‌گیری توان حیاتی سلول‌ها، فعالیت آنزیمی و ایمونوبلاتینگ، حاصل ۳ تا ۸ آزمایش جداگانه بود که به صورت میانگین  $\pm$  استاندارد خطای میانگین (Mean  $\pm$  S.E.M) نشان داده شدند. اختلاف آماری بین گروه‌های کنترل و تیمار شده با استفاده از Unpaired Student's Test بررسی شد. در این مطالعه  $P < 0.05$  از نظر آماری معنی‌دار تلقی گردید.

## یافته‌ها

### نتایج DNA Ladder

تیمار کردن سلول‌ها به مدت ۷۲ ساعت با ۱۰۰ mM گلوکز، باعث ایجاد الگوی نرdbanی بعد از الکتروفورز DNA شد که موید آپیتوز می‌باشد (شکل ۱) در حالی که چنین الگویی در سلول‌های کنترل نرمال گلوکز و سلول‌های تیمار شده با ۱۰۰ mM مانیتول (کنترل منفی) دیده نشد.

محل باندهای پروتئینی و راندمان انتقال به طریق رنگ‌آمیزی Ponceau S بررسی شد. محل باند مورد نظر و کنترل راندمان انتقال همچنین با استفاده از مارکر وزن مولکولی از MBI (Prestained MW marker) (Fermentas, France) پیش رنگ شده نیز کنترل شد. برای شناسایی باندهای مربوط به پروتئین پروکاسپاز ۸، از آنتی‌بادی اولیه پلی کلونال Mountain BioVision (USA, CA). از آنتی‌بادی اولیه بر علیه بتا اکتین نیز به عنوان کنترل داخلی استفاده شد. این آنتی‌بادی‌ها توسط Roche (HRP) (Applied Science) شناسایی و به طریق لومنیسانس (Roche ECL chemiluminescence detection kit) ظاهر گردید. فیلم ظاهر شده، اسکن گردیده و شدت باندهای حاصل با استفاده از آنالیز دانسیتومتری بصورت کمی بیان گردید.



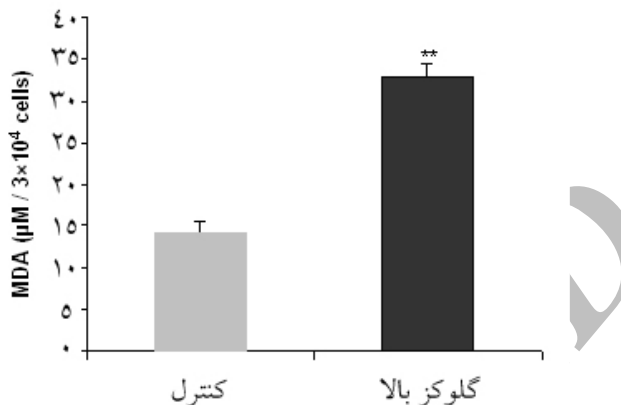
سلولها با گلوکز نرمال (CTL)، گلوکز بالا (HG) و یا مانیتول (کنترل منفی) به مدت ۷۲ ساعت تیمار شدند. M نشان دهنده مارکر می‌باشد.

شکل ۱- نمایش قطعه قطعه شدن و یا نرdban DNA سلول‌های PC12 پس از الکتروفورز بر روی ژل آگاروز

با استفاده از معرفی به نام تیوباربیتوريک اسید انجام شد. تیمار کردن سلول‌ها با  $100\text{ }\mu\text{M}$  گلوکز به مدت ۷۲ ساعت موجب افزایش معنی‌دار در تولید MDA ( $3 \times 10^4$  سلول  $3 \times 10^4$   $\mu\text{M}$ ) در مقایسه با سلول‌های کنترل ( $3 \times 10^4$   $\mu\text{M} / 1\text{ }\mu\text{M}$ ) گردید (نمودار ۲).

### تأثیر گلوکز بر روی استرس اکسیداتیو در سلول‌های PC12

افزایش تولید MDA نشان دهنده پراکسیداسیون لیپیدها به خصوص در غشاهاي سلولی می‌باشد. میزان تولید MDA (به عنوان شاخص استرس اکسیداتیو) به روش کالریمتری



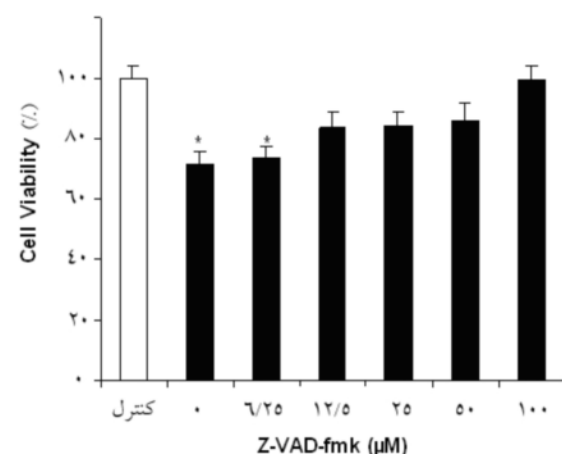
نتایج به صورت Mean  $\pm$  S.E.M نشان داده شده‌اند.  $*P < 0.05$ ,  $**P < 0.01$  در مقایسه با گروه کنترل.

نمودار ۲- تاثیر گلوکز بر روی میزان تولید MDA در سلول‌های PC12. سلول‌ها بمدت ۷۲ ساعت با  $100\text{ }\mu\text{M}$  گلوکز تیمار شدند.

Z-VAD-FMK ( $100\text{ }\mu\text{M}$  میکرومولار)، پیش تیمار شدند و سپس تحت تیمار با گلوکز قرار گرفتند، توان حیاتی آنها افزایش پیدا کرد بطوری که در غلظت  $100\text{ }\mu\text{M}$  میکرومولار Z-VAD-FMK، درصد زنده ماندن آنها  $100\text{ }/(\% ۹۹/۴)$  بسیار شبیه سلول‌های کنترل ( $100\text{ }/\%$ ) بود.

### تأثیر مهار کننده عمومی کاسپازها بر روی حیات سلولی در حضور غلظت بالای گلوکز

تیمار کردن سلول‌ها با گلوکز ( $100\text{ }\mu\text{M}$ ) به مدت ۷۲ ساعت) موجب کاهش معنی‌دار توان حیاتی ( $P < 0.05$ ) در مقایسه با سلول‌های کنترل گردید. زمانی که سلول‌های PC12 به مدت ۳ ساعت با غلظت‌های افزایش یابنده



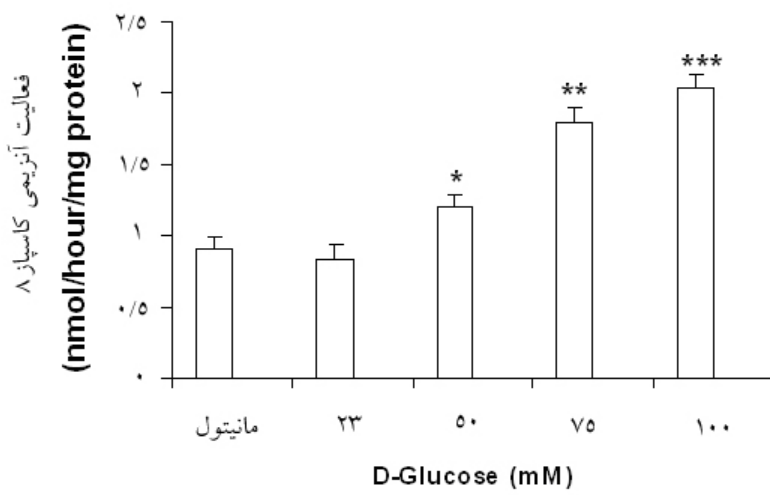
نتایج به صورت Mean  $\pm$  S.E.M نشان داده شده‌اند.  $*P < 0.05$ ,  $**P < 0.01$  در مقایسه با گروه کنترل.

نمودار ۳- سنجش حیات سلولی با استفاده از تست MTT. مهار کننده عمومی کاسپازها (Z-VAD-FMK) (Z-VAD-FMK) توانست به صورت وابسته به دوز موجب افزایش توان حیاتی سلول‌های PC12 تحت تیمار با گلوکز ( $100\text{ }\mu\text{M}$ ) بمدت ۷۲ ساعت گردد.

کرد که نشان دهنده دخالت کاسپاز ۸ در آپیتوز ناشی از غلظت بالای گلوکز در سلول‌های PC12 PC می‌باشد. مانیتول (۱۰۰ mM) که به عنوان کنترل اسمزی استفاده شد، هیچگونه تاثیری بر فعالیت کاسپاز ۸ نداشت و بنابراین آپیتوز ناشی از غلظت بالای گلوکز مستقل از افزایش فشار اسمزی می‌باشد (نمودار ۴).

## تأثیر گلوکز بر روی فعالیت آنزیمی کاسپاز ۸ در سلول‌های PC12

کاسپاز ۸ نقش کاسپاز آغازگر در مسیر خارجی آپیتوز ایفا می‌کند. فعالیت کاسپازی با استفاده از سوبستراتی کروموزنیک اندازه‌گیری شد. فعالیت آنزیمی کاسپاز ۸ بعد از تیمار کردن سلول‌های PC12 با گلوکز (M) ۲۳-۱۰۰ mM به مدت ۷۲ ساعت، به صورت وابسته به دوز افزایش پیدا

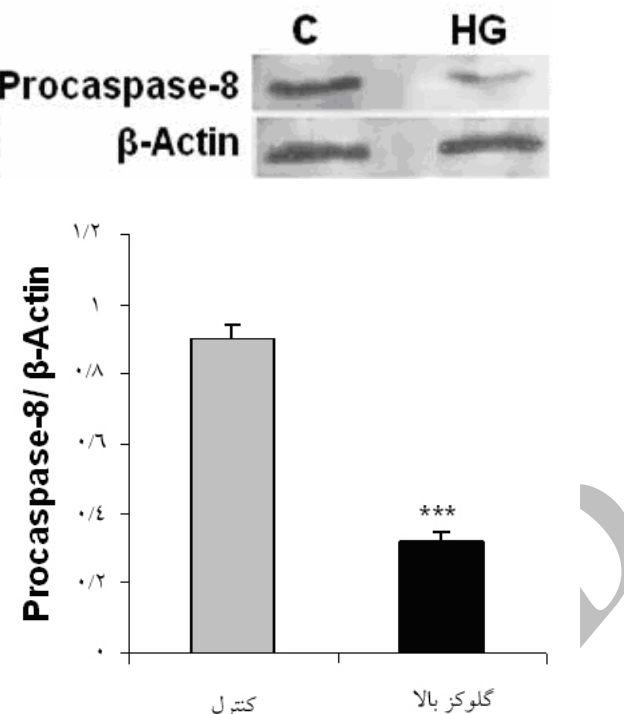


نتایج به صورت Mean  $\pm$  S.E.M نشان داده شده‌اند.  $P < 0.001$ ,  $***P < 0.0001$ ,  $**P < 0.01$ ,  $*$  در مقایسه با گروه کنترل (۲۳ میلی‌مولار گلوکز). نمودار ۴- تاثیر گلوکز بر روی فعالیت آنزیمی کاسپاز ۸ در سلول‌های PC12. سلول‌ها به مدت ۷۲ ساعت با غلظت‌های افزایش یابنده گلوکز (۲۳-۱۰۰ mM) تیمار شدند. مانیتول (۱۰۰ میلی‌مولار) به عنوان کنترل اسمزی بکار رفت.

توسط ایمونوبلات مورد بررسی قرار گرفت. تیمار کردن سلول‌ها با گلوکز (M) ۱۰۰ mM به مدت ۷۲ ساعت منجر به کاهش معنی‌دار در میزان پروکاسپاز ۸ نسبت به کنترل شد (نمودار ۵) که با داده‌های حاصل از بررسی فعالیت آنزیمی همخوانی دارد و نشان دهنده فعل شدن این کاسپاز می‌باشد.

## تأثیر گلوکز بر روی میزان بیان پروتئین پروکاسپاز ۸ در سلول‌های PC12

کاسپازها به صورت پروآنزیم ساخته می‌شوند که بعد از دریافت پیام مرگ سلولی، به فرم فعال آنزیمی تبدیل می‌شوند [۳۱]. بنابراین برای نشان دادن ارتباط بین فعالیت آنزیمی کاسپاز ۸ با میزان پروتئین، پیش‌ساز این آنزیم



نتایج بصورت  $\text{Mean} \pm \text{S.E.M}$  نشان داده شده‌اند. \*\*\*P < 0.001 در مقایسه با گروه کنترل.

نمودار ۵- بررسی میزان پروتئین پروکاسپاز ۸ توسط روش ایمونوبلاتینگ در سلول‌های تیمار شده با گلوکز (۱۰۰ mM) به مدت ۷۲ ساعت (HG) و سلول‌های کنترل (C). تصویر ایمونوبلات بروی گراف نسان داده شده است. آنالیز دانسیتومتری باندها بعد از نرمال کردن در برابر بتاکتین به عنوان کنترل داخلی، انجام شده است.

PC12 که یک رده سلولی عصبی می‌باشد، آپیتوز ایجاد کند [۱۲]. اما با این حال هنوز جزئیات سازوکار آپیتوزی در نورون‌ها در اثر گلوکز مشخص نشده است [۳۷]. هدف این مطالعه بررسی ارتباط استرس اکسیداتیو با فعال شدن کاسپاز ۸ (کاسپاز آغازگر در مسیر خارجی) در آپیتوز ناشی از غلظت بالای گلوکز در سلول‌های PC12 می‌باشد.

از آنجایی که هیپرگلیسمی به عنوان عامل خطرساز اصلی برای نوروباتی دیابتی در انسان شناخته شده است [۳]، در این مطالعه از یک مدل In vitro (کشت سلول‌های PC12 در محیط حاوی ۱۰۰ mM گلوکز) استفاده شده است تا شرایط مشابه هیپرگلیسمی که در جریان بیماری دیابت اتفاق می‌افتد، فراهم شود [۱۹، ۲۰]. جهت اثبات این که سمیت عصبی گلوکز به دلیل افزایش اسمولاریته نیست و حاصل اثر مستقیم گلوکز بر روی سلول‌ها می‌باشد، از مانیتور (۱۰۰ mM) بعنوان کنترل اسمزی استفاده شد. تحت شرایط فوق، بررسی‌ها نشان داد که آپیتوز ایجاد شده توسط غلظت بالای گلوکز در سلول‌های PC12، تا اندازه‌ای وابسته به فعال

## بحث

با وجود اینکه نوروباتی دیابتی یکی از شایع‌ترین عوارض بیماری دیابت می‌باشد، هنوز سازوکارهای مولکولی دخیل در ایجاد آن به خوبی شناخته نشده است [۳۲]. استرس اکسیداتیو که عبارت از عدم تعادل بین تولید رادیکال‌های آزاد و ظرفیت دفاع آنتی اکسیدانی بدن است، با عوارض ناشی از دیابت مانند نوروباتی در ارتباط می‌باشد [۱۲]. افزایش رادیکال‌های آزاد نتیجه افزایش متابولیسم گلوکز در میتوکندری و یا سیکل پتوز فسفات می‌باشد [۳۳]. همچنین گلوکز از طریق فعال کردن نیتریک اکسید سنتاز میزان نیتریک اکسید را افزایش می‌دهد [۳۴]. رادیکال‌های آزاد یک عامل شناخته شده فعال کننده مسیرهای سیگنالی آپیتوز در سلول‌های مختلف می‌باشند [۳۵، ۳۶]؛ در واقع، مطالعات زیادی وجود دارد که نشان می‌دهد نورون‌ها در اثر غلظت بالای گلوکز دچار آپیتوز می‌شوند [۸-۱۱]. مطالعه قبلی ما نیز نشان داد که غلظت بالای گلوکز می‌تواند در سلول‌های

می شود [۴۰، ۴۱] که با داده های مطالعه حاضر در توافق می باشد. اما در سلول های نورونی رتینال، آپیتوز ناشی از گلوکز غیر وابسته به کاسپاز است و از طریق فاکتور القا کننده آپیتوز (AIF) اعمال می شود [۴۲].

در این مطالعه سازو کارهایی که رادیکال های آزاد بوسیله آن موجب فعال شدن کاسپاز ۸ در سلول های PC12 می شود، بررسی نشده است. مسیر اصلی برای فعال شدن کاسپاز ۸ از طریق گیرنده های مرگ و با دخالت مولکول FADD می باشد [۴۳]. اما شواهد مطالعات In vivo و In vitro نشان داده اند که فعال شدن کاسپاز ۸ انحصاراً وابسته به گیرنده های مرگ نیست و می تواند بطور مستقل توسط میانجی های درون سلولی مانند رادیکال های آزاد صورت گیرد [۴۴، ۴۵]. فعال شدن کاسپاز ۸ در سلول های مختلف در پاسخ به انواع استرس اکسیداتیو مشاهده گردیده و سازو کارهای متنوعی برای آن پیشنهاد شده است. مثلاً دیده شده است که استرس اکسیداتیو نفوذ پذیری غشای لیزوژوم را افزایش داده و متعاقب رها شدن کاتپسین D و E از آن، کاسپاز ۸ را فعال می کند [۴۵]. مسیرهای سیگنالی وابسته به پروتئین کینازهایی از خانواده MAPK مانند p38، JNK و ERK نیز در فعال شدن کاسپازها از جمله کاسپاز ۸ ناشی از استرس اکسیداتیو در نورون ها دخیل هستند [۴۶-۴۸]. استرس اکسیداتیو نیز ممکن است به DNA آسیب وارد کند و موجب فعال شدن کاسپاز ۸ بدون دخالت گیرنده های مرگ شود [۴۹].

بطور خلاصه داده های این تحقیق نشان داد که آپیتوز ناشی از غلظت بالای گلوکز در سلول های PC12 همراه با فعال شدن کاسپاز ۸ و مرتبط با استرس اکسیداتیو می باشد. مطالعات بیشتری لازم است تا سازو کارهای دیگری که ممکن است در ایجاد مرگ سلولی ناشی از گلوکز بالا دخالت داشته باشند مشخص شوند.

## سپاسگزاری

از گروه رادیولوژی دانشکده پرایزشکی و مرکز تحقیقات سلولی مولکولی دانشگاه علوم پزشکی ایران صمیمانه قدردانی می شود. این مطالعه تحت حمایت مالی دانشکده پزشکی دانشگاه علوم پزشکی تهران انجام شده است.

شدن کاسپاز ۸ و مرتبط با استرس اکسیداتیو می باشد. در مقابل، مانیتول هیچگونه تغییر معنی داری در مقایسه با کترول ایجاد نکرد که بیانگر عدم دخالت افزایش فشار اسمزی در آپیتوز ناشی از گلوکز می باشد.

کاسپازها دسته ای از پروتازهای سیستئینی هستند که نقش اساسی در فرایند آپیتوز ایفا می کنند [۳۸]. کاسپاز ۸ یک کاسپاز آغازگر در مسیر خارجی آپیتوز می باشد و موجب فعال شدن کاسپاز ۳ یعنی کاسپاز اجرایی پایین دست می شود. کاسپازها به صورت پیش سازهای غیر فعال ساخته می شوند. در اثر پر تولیز، پیش ساز ۵۵ کیلودالتونی کاسپاز ۸ فرم فعال این کاسپاز ایجاد می شود [۱۵]. بنابراین کاهش میزان پروکاسپازها می تواند نشان دهنده فعال شدن کاسپازها باشد.

در مطالعه حاضر، میزان تولید MDA (بعنوان شاخص استرس اکسیداتیو) در سلول های تیمار شده نسبت به کترول افزایش معنی دار نشان داد. مهار کننده عمومی کاسپازها، VAD-fmk، توانست بطور موثر مرگ سلولی را مهار کند که این نشان دهنده دخالت کاسپازها در مرگ سلولی ناشی از گلوکز می باشد. جهت بررسی فعال شدن کاسپاز ۸ در سلول های PC12، از دو روش مختلف استفاده شد: آنالیز فعالیت آنزیمی با استفاده از سوبستراهای سترزی و آنالیز بیان پروتئینی پروکاسپاز به روش ایمونو بلاتینگ. تیمار کردن سلول ها با گلوکز به مدت ۷۲ ساعت موجب افزایش فعالیت آنزیمی کاسپاز مورد نظر همراه با فرآگمتاسیون DNA شد که به موازات کاهش میزان پروتئین پروکاسپاز ۸ می باشد. این مشاهده با نتایج قبلی که بیانگر شروع آپیتوز بعد از ۷۲ ساعت تیمار کردن با گلوکز بود و توسط افزایش نسبت بیان پروتئین Bax به Bcl2 و قطعه قطعه شدن DNA به اثبات رسید، همخوانی دارد. این مطالعه برای اولین بار در یک سیستم In vitro نشان داد که آپیتوز ناشی از گلوکز در سلول های PC12 همراه با فعال شدن کاسپاز ۸ می باشد.

سازو کارهای آپیتوزی که گلوکز بواسطه آنها موجب القای مرگ سلولی می شود، بسته به نوع سلول و بافت مورد مطالعه متفاوت می باشد [۳۹]. به عنوان مثال غلظت بالای گلوکز، موجب مرگ سلول های لاكتوتروف رت و توبولی کلیه انسان با واسطه استرس اکسیداتیو و فعال کردن کاسپاز ۸

## مأخذ

1. Vincent AM., Brownlee M, Russell JW. Oxidative stress and programmed cell death in diabetic neuropathy. *Ann N Y Acad Sci* 2002; 959: 368-83.
2. Vincent AM, Russell JW, Low P, Feldman EL. Oxidative stress in the pathogenesis of diabetic neuropathy. *Endocr Rev* 2004; 25: 612-28.
3. Dyck PJ, Kratz KM, Karnes JL, Litchy WJ, Klein R, Pach JM, et al. The prevalence by staged severity of various types of diabetic neuropathy, retinopathy, and nephropathy in a population-based cohort: the Rochester Diabetic Neuropathy Study. *Neurology* 1993; 43: 817-24.
4. Chandra J, Samali A, Orrenius S. Triggering and modulation of apoptosis by oxidative stress. *Free Radic Biol Med* 2000; 29: 323-33.
5. Simon HU, Haj-Yehia A, Levi-Schaffer F. Role of reactive oxygen species (ROS) in apoptosis induction. *Apoptosis* 2000; 5: 415-8.
6. Waldmeier PC, Tatton WG. Interrupting apoptosis in neurodegenerative disease: potential for effective therapy? *Drug Discov Today* 2004; 9: 210-8.
7. Holder M, Holl RW, Bartz J, Hecker W, Heinze E, Leichter HE, et al. Influence of long-term glycemic control on the development of cardiac autonomic neuropathy in pediatric patients with type I diabetes. *Diabetes Care* 1997; 20: 1042-3.
8. Sasaki H, Schmelzer JD, Zollman PJ, Low PA. Neuropathology and blood flow of nerve, spinal roots and dorsal root ganglia in longstanding diabetic rats. *Acta Neuropathol* 1997; 93: 118-28.
9. Russell JW, Sullivan KA, Windebank AJ, Herrmann DN, Feldman EL. Neurons undergo apoptosis in animal and cell culture models of diabetes. *Neurobiol Dis* 1999; 6: 347-63.
10. Srinivasan S, Stevens MJ, Sheng H, Hall KE, Wiley JW. Serum from patients with type 2 diabetes with neuropathy induces complement-independent, calcium-dependent apoptosis in cultured neuronal cells. *J Clin Invest* 1998; 102: 1454-62.
11. Strasser A, O'Connor L, Dixit VM. Apoptosis signaling. *Annu Rev Biochem* 2000; 69: 217-45.
12. Sharifi AM, Mousavi SH, Farhadi M, Larijani B. Study of high glucose-induced apoptosis in PC12 cells: role of bax protein. *J Pharmacol Sci* 2007; 104: 258-62.
13. Fadel B, Orrenius S. Apoptosis: a basic biological phenomenon with wide-ranging implications in human disease. *J Intern Med* 2005; 258: 479-517.
14. Talanian RV, Quinlan C, Trautz S, Hackett MC, Mankovich JA, Banach D, et al. Substrate specificities of caspase family proteases. *J Biol Chem* 1997; 272: 9677-82.
15. Creagh EM, Martin SJ. Caspases: cellular demolition experts. *Biochem Soc Trans* 2001; 29: 696-702.
16. Kim R, Emi M, Tanabe K, Murakami S, Uchida Y, Arihiro K. Regulation and interplay of apoptotic and non-apoptotic cell death. *J Pathol* 2006; 208: 319-26.
17. Jiang X, Wang X. Cytochrome C-mediated apoptosis. *Annu Rev Biochem* 2004; 73: 87-106.
18. Li H, Zhu H, Xu CJ, Yuan J. Cleavage of BID by caspase 8 mediates the mitochondrial damage in the Fas pathway of apoptosis. *Cell* 1998; 94: 491-501.
19. Lelkes E, Unsworth BR, Lelkes PI. Reactive oxygen species, apoptosis and altered NGF-induced signaling in PC12 pheochromocytoma cells cultured in elevated glucose: an in vitro cellular model for diabetic neuropathy. *Neurotox Res* 2001; 3: 189-203.
20. Martin TF, Grishanin RN. PC12 cells as a model for studies of regulated secretion in neuronal and endocrine cells. *Methods Cell Biol* 2003; 71: 267-86.
21. Kang BP, Frencher S, Reddy V, Kessler A, Malhotra A, Meggs LG. High glucose promotes mesangial cell apoptosis by oxidant-dependent mechanism. *Am J Physiol Renal Physiol* 2003; 284: F455-66.
22. Ryan KM, Ernst MK, Rice NR, Vousden KH. Role of NF-kappaB in p53-mediated programmed cell death. *Nature* 2000; 404: 892-7.
23. Scorrano L, Korsmeyer SJ. Mechanisms of cytochrome c release by proapoptotic BCL-2 family members. *Biochem Biophys Res Commun* 2003; 304: 437-44.
24. Selznick LA, Zheng TS, Flavell RA, Rakic P, Roth KA. Amyloid beta-induced neuronal death is bax-dependent but caspase-independent. *J Neuropathol Exp Neurol* 2000; 59: 271-9.
25. Xiang J, Chao DT, Korsmeyer SJ. BAX-induced cell death may not require interleukin 1 beta-converting enzyme-like proteases. *Proc Natl Acad Sci USA* 1996; 93: 14559-63.
26. Gutteridge JM, Quinlan GJ. Malondialdehyde formation from lipid peroxides in the thiobarbituric acid test: the role of lipid radicals, iron salts, and metal chelators. *J Appl Biochem* 1983; 5: 293-9.
27. Mosmann T. Rapid colorimetric assay for cellular growth and survival: application to proliferation and cytotoxicity assays. *J Immunol Methods* 1983; 65: 55-63.
28. Bradford MM. A rapid and sensitive method for the quantitation of microgram quantities of protein utilizing the principle of protein-dye binding. *Anal Biochem* 1976; 72: 248-54.
29. Thornberry NA. Interleukin-1 beta converting enzyme. *Methods Enzymol* 1994; 244: 615-31.
30. Laemmli UK. Cleavage of structural proteins during the assembly of the head of bacteriophage T4. *Nature* 1970; 227: 680-5.
31. Boatright KM, Salvesen GS. Mechanisms of caspase activation. *Curr Opin Cell Biol* 2003; 15: 725-31.
32. Yasuda H, Terada M, Maeda K, Kogawa S, Sanada M, Haneda M, et al. Diabetic neuropathy

- and nerve regeneration. *Prog Neurobiol* 2003; 69: 229-85.
33. Wu L, Nicholson W, Knobel SM, Steffner RJ, May JM, Piston DW, et al. Oxidative stress is a mediator of glucose toxicity in insulin-secreting pancreatic islet cell lines. *J Biol Chem* 2004; 279: 12126-34.
  34. Koshimura K, Tanaka J, Murakami Y, Kato Y. Involvement of nitric oxide in glucose toxicity on differentiated PC12 cells: prevention of glucose toxicity by tetrahydrobiopterin, a cofactor for nitric oxide synthase. *Neurosci Res* 2002; 43: 31-8.
  35. Baumgartner HK, Gerasimenko JV, Thorne C, Ashurst LH, Barrow SL, Chvanov MA, et al. Caspase-8-mediated apoptosis induced by oxidative stress is independent of the intrinsic pathway and dependent on cathepsins. *Am J Physiol Gastrointest Liver Physiol* 2007; 293: G296-307.
  36. Kannan K, Jain SK. Oxidative stress and apoptosis. *Pathophysiology* 2000; 7: 153-63.
  37. Okouchi M, Okayama N, Aw TY. Hyperglycemia potentiates carbonyl stress-induced apoptosis in naive PC-12 cells: relationship to cellular redox and activator protease factor-1 expression. *Curr Neurovasc Res* 2005; 2: 375-86.
  38. Thornberry NA, Lazebnik Y. Caspases: enemies within. *Science* 1998; 281: 1312-6.
  39. Allen DA, Yaqoob MM, Harwood SM. Mechanisms of high glucose-induced apoptosis and its relationship to diabetic complications. *J Nutr Biochem* 2005; 16: 705-13.
  40. Arroba AI, Frago LM, Argente J, Chowen JA. Activation of caspase 8 in the pituitaries of streptozotocin-induced diabetic rats: implication in increased apoptosis of lactotrophs. *Endocrinology* 2005; 146: 4417-24.
  41. Verzola D, Bertolotto MB, Villaggio B, Ottonello L, Dallegrì F, Salvatore F, et al. Oxidative stress mediates apoptotic changes induced by hyperglycemia in human tubular kidney cells. *J Am Soc Nephrol* 2004; 15 Suppl 1: S85-7.
  42. Santiago AR, Cristovao AJ, Santos PF, Carvalho CM, Ambrosio AF. High glucose induces caspase-independent cell death in retinal neural cells. *Neurobiol Dis* 2007; 25: 464-72.
  43. Tibbetts MD, Zheng L, Lenardo MJ. The death effector domain protein family: regulators of cellular homeostasis. *Nat Immunol* 2003; 4: 404-9.
  44. Inman GJ, Allday MJ. Apoptosis induced by TGF-beta 1 in Burkitt's lymphoma cells is caspase 8 dependent but is death receptor independent. *J Immunol* 2000; 165: 2500-10.
  45. Von Haefen C, Wieder T, Essmann F, Schulze-Osthoff K, Dorken B, Daniel PT. Paclitaxel-induced apoptosis in BJAB cells proceeds via a death receptor-independent, caspases-3/-8-driven mitochondrial amplification loop. *Oncogene* 2003; 22: 2236-47.
  46. Sumbayev VV, Yasinska IM. Regulation of MAP kinase-dependent apoptotic pathway: implication of reactive oxygen and nitrogen species. *Arch Biochem Biophys* 2005; 436: 406-12.
  47. Choi WS, Eom DS, Han BS, Kim WK, Han BH, Choi EJ, et al. Phosphorylation of p38 MAPK induced by oxidative stress is linked to activation of both caspase-8- and -9-mediated apoptotic pathways in dopaminergic neurons. *J Biol Chem* 2004; 279: 20451-60.
  48. Sarker KP, Biswas KK, Yamakuchi M, Lee KY, Hahiguchi T, Kracht M, et al. ASK1-p38 MAPK/JNK signaling cascade mediates anandamide-induced PC12 cell death. *J Neurochem* 2003; 85: 50-61.
  49. Vit JP, Guillouf C, Rosselli F. Futile caspase-8 activation during the apoptotic cell death induced by DNA damaging agents in human B-lymphoblasts. *Exp Cell Res* 2001; 269: 2-12.